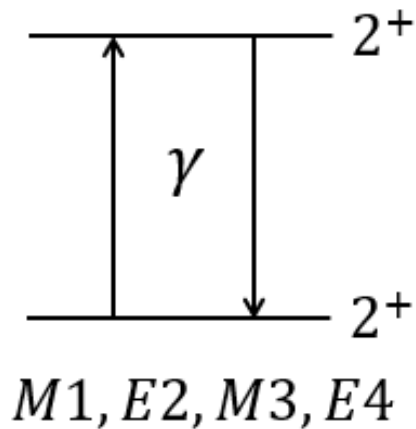


Длинноволновое приближение:
длина волны фотона (λ)
много больше размера системы (R)



В длинноволновом приближении, т. е. при $\lambda \gg R$ можно предсказать каковы вероятности поглощения (испускания) фотонов различного типа и мультипольности.

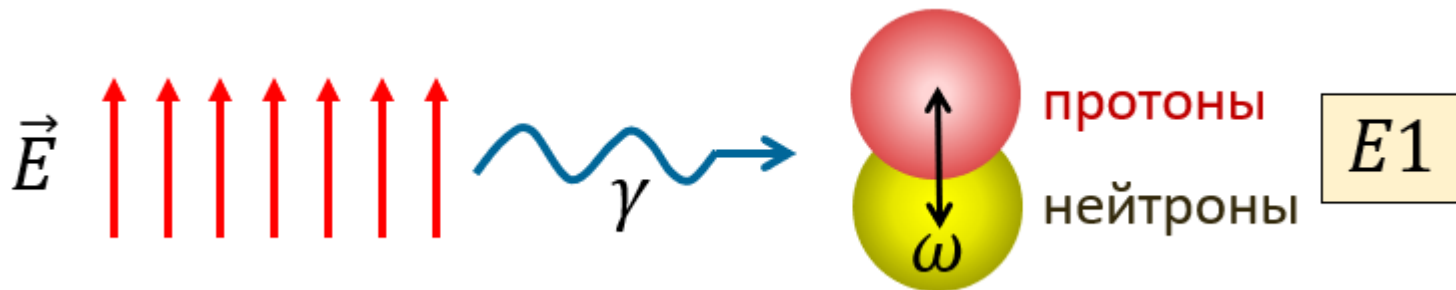
Пусть на ядро падает плоская монохроматическая электромагнитная волна. Её векторный потенциал (классический аналог волновой функции фотона) имеет вид:

$$\vec{A}(\vec{r}, t) = \vec{A}_0 e^{i(\vec{k}\vec{r} - \omega t)},$$

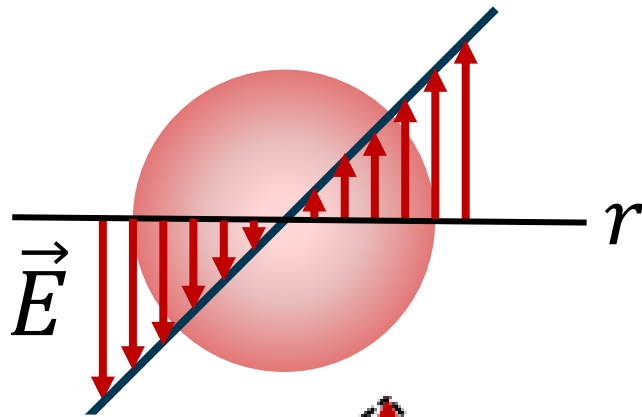
где $\vec{k} = \vec{p}/\hbar$ – волновой вектор, а $k = 2\pi/\lambda$ – волновое число. Такая волна при $\lambda \gg R$ ($kR \ll 1$) внутри системы (при $r < R$) допускает разложение в ряд:

$$\vec{A}(\vec{r}, t) = \vec{A}_0 e^{-i\omega t} \left[1 + i\vec{k}\vec{r} + \frac{1}{2}(i\vec{k}\vec{r})^2 + \frac{1}{6}(i\vec{k}\vec{r})^3 + \dots \right]$$

Слагаемое $\vec{A}_0 e^{-i\omega t} \cdot 1$ отвечает однородному (одинаковому во всём пространстве полю, вызывающему электрические дипольные колебания:

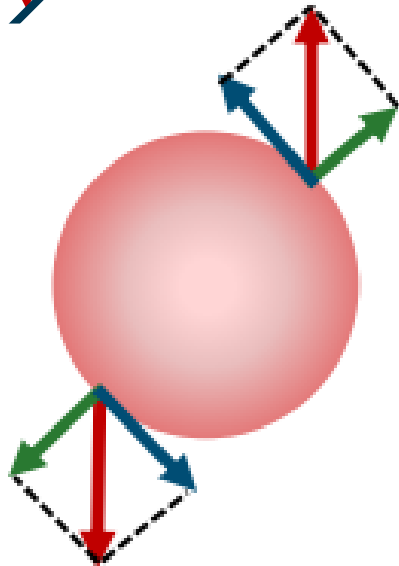


Слагаемое $\vec{A}_0 e^{-i\omega t} \cdot i\vec{k}\vec{r}$
отвечает полю линейному по r :

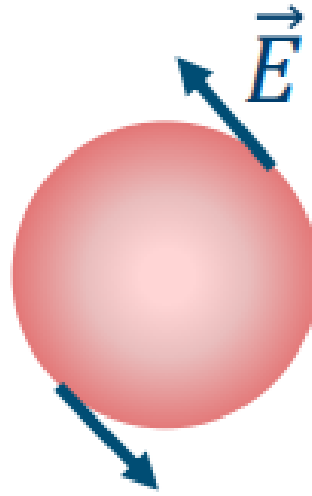


$M1 + E2$

Анимация
на Лекции

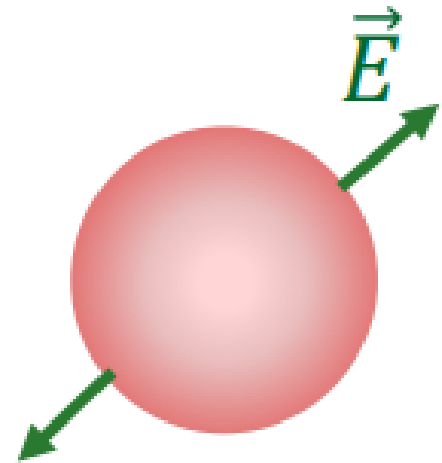


=



$M1$

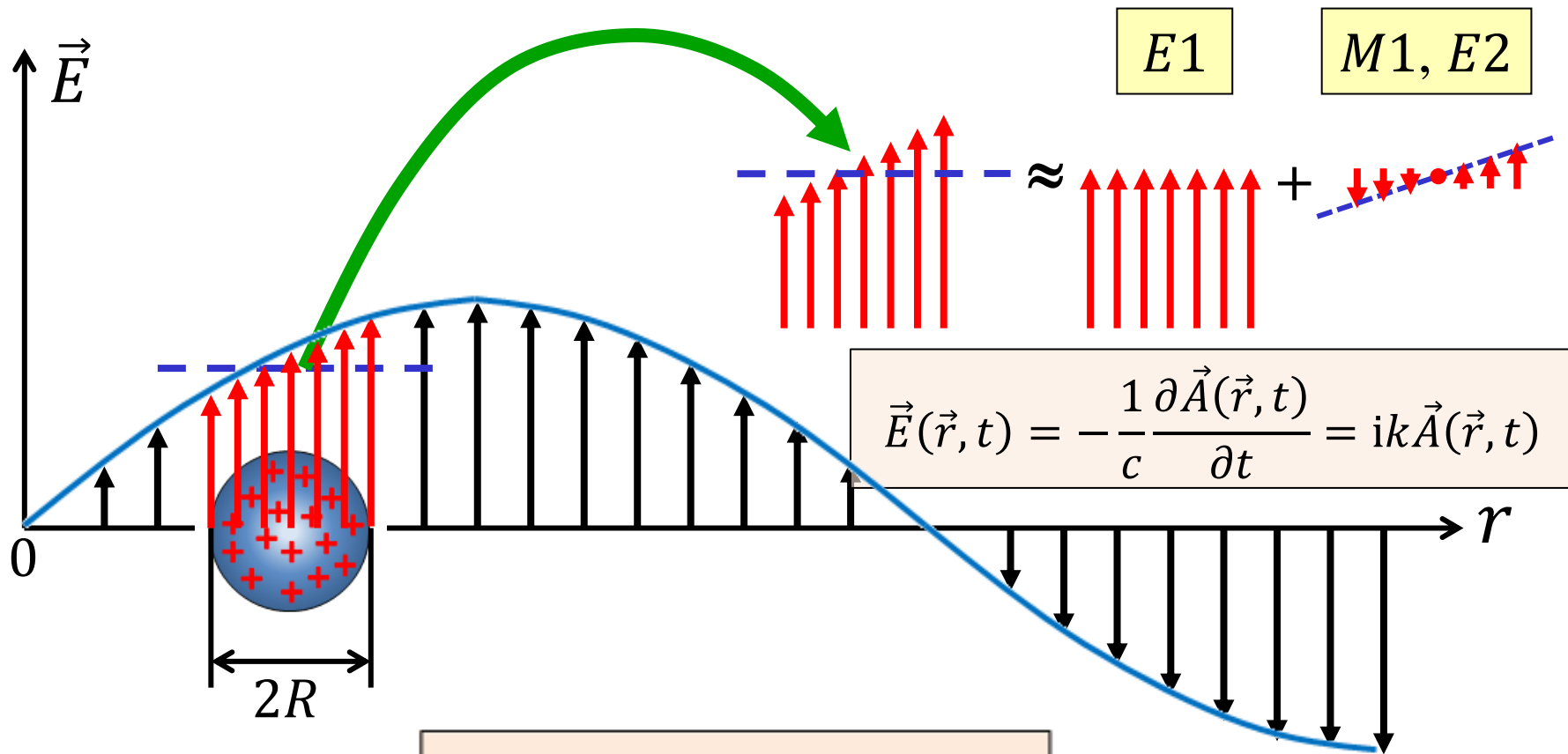
+



$E2$

Длинноволновое приближение:
длина волны фотона \gg размера системы

$$\lambda \gg R$$



Анимация на Лекции

Продолжая аналогичный анализ для более высоких членов разложения при $\lambda \gg R$ ($kR \ll 1$)

можно прийти к следующему соответствию слагаемых этого разложения фотонам различного типа:

$$\vec{A}(\vec{r}, t) = \vec{A}_0 e^{-i\omega t} \left[1 + i\vec{k}\vec{r} + \frac{1}{2} (i\vec{k}\vec{r})^2 + \frac{1}{6} (i\vec{k}\vec{r})^3 + \dots \right]$$

$$\begin{array}{cccc} \uparrow & \uparrow & \uparrow & \uparrow \\ L = 0 & L = 1 & L = 2 & L = 3 \end{array}$$

$E1$	$M1, E2$	$M2, E3, E1$	$M3, E4, E2$
------	----------	--------------	--------------

$$L = \begin{cases} J & \text{при } MJ \\ J \pm 1 & \text{при } EJ \end{cases}$$

При прочих равных условиях доминирует $E1$:

$$\vec{A}(\vec{r}, t) = \vec{A}_0 e^{i(\vec{k}\vec{r} - \omega t)} \approx \vec{A}_0 e^{-i\omega t}$$

Таким образом в длинноволновом приближении плоская монохроматическая волна является суперпозицией парциальных волн с различными орбитальными моментами L фотонов.

Пространственная часть этих волн играет роль амплитуд этих парциальных волн в определённой точке пространства \vec{r} .

Поэтому

интенсивность конкретной парциальной волны в этой точке даётся квадратом модуля амплитуды соответствующей парциальной волны.

Вероятность w_L фотонам с определённым L быть поглощёнными ядром пропорциональна числу фотонов с данным L в объёме ядра, т.е. интенсивности парциальной волны,

которая, в свою очередь, даётся квадратом модуля амплитуды этой волны: $w_L \sim |A_L|^2$.

Амплитуды парциальных волн:	
<i>электрических</i>	<i>магнитных</i>
$A_{E1} \sim (kr)^0 = 1,$	$A_{M1} \sim (kr)^1,$
$A_{E2} \sim (kr)^1$	$A_{M2} \sim (kr)^2,$
$A_{E3} \sim (kr)^2,$	$A_{M3} \sim (kr)^3,$
$A_{E4} \sim (kr)^3,$	$A_{M4} \sim (kr)^4,$
.....
$A_{EJ} \sim (kr)^{J-1}.$	$A_{MJ} \sim (kr)^J$

Отсюда сразу получаем (R – радиус ядра):

$$w(EJ) \sim (kR)^{2(J-1)} \sim \left(\frac{R}{\lambda}\right)^{2(J-1)},$$

$$w(MJ) \sim (kR)^{2J} \sim \left(\frac{R}{\lambda}\right)^{2J}.$$

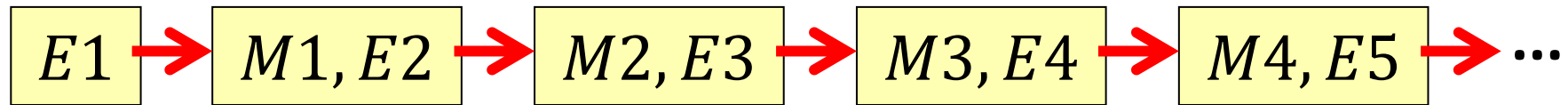
Для отношения вероятностей
электромагнитных переходов различного типа
и мультипольности при $\lambda \gg R$ имеем:

$$\frac{w(MJ)}{w(EJ)} \approx (kR)^2 \ll 1$$

$$\frac{w(MJ + 1)}{w(MJ)} \approx \frac{w(EJ + 1)}{w(EJ)} \approx (kR)^2 \ll 1$$

Преимущественное взаимодействие атомов и ядер
с $E1$ -фотонами при $\lambda \gg R$ объясняется тем,
что у такой электромагнитной волны
внутри таких малых объектов
как атомы и ядра оказываются
практически только $E1$ -фотоны,
в меньшей степени – $M1, E2$,
в ещё меньшей степени – $M2, E3$ и так далее.

Таким образом, если правилами отбора разрешено поглощение (испускание) фотонов любого типа и мультипольности, то при $\lambda \gg R$ вероятности их поглощения (испускания) будут падать в следующей последовательности:



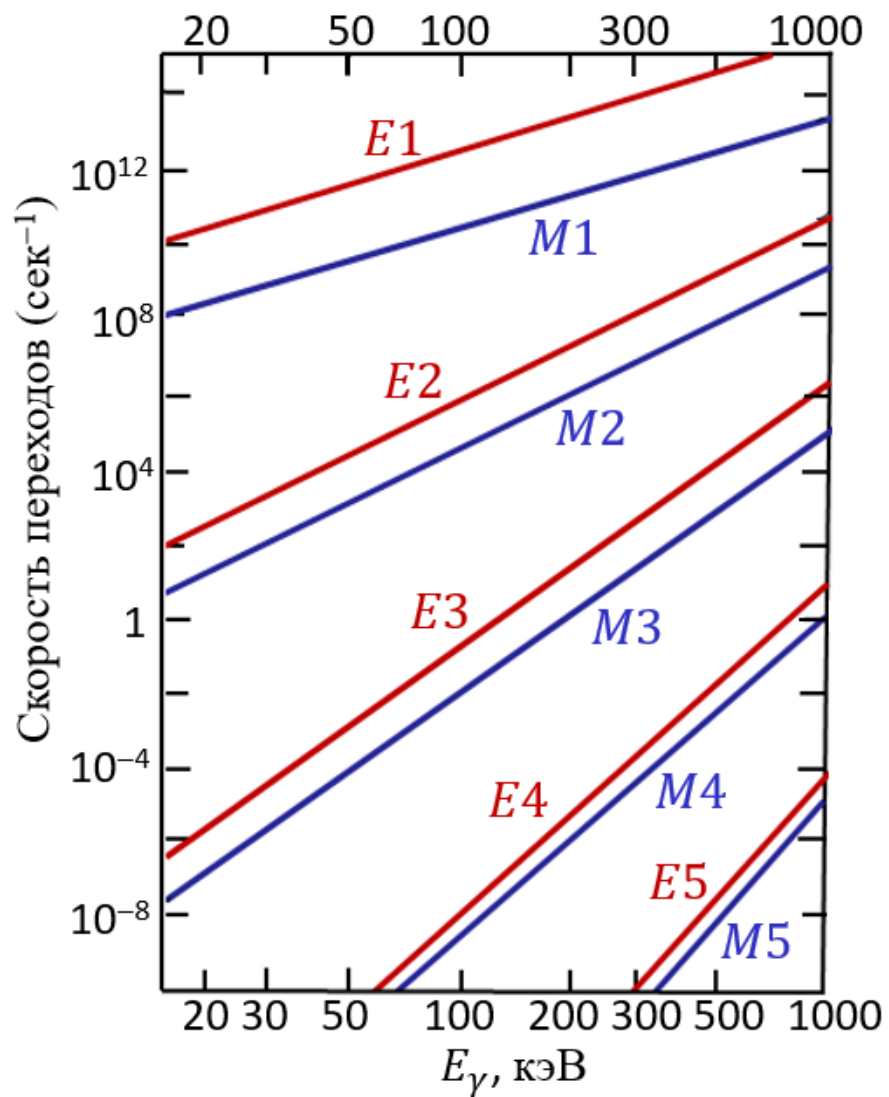
Применимо ли длинноволновое приближение ($\lambda \gg R$) к атомному ядру? Для атомного ядра ситуация $\lambda \gg R$ и $(kR)^2 \ll 1$ является типичной. Рассмотрим пример: Ядро с $A = 200$ и фотон с $E_\gamma = 10$ МэВ.

Радиус ядра ^{208}Pb : $R = 1,1 \cdot A^{1/3}$ Фм $\approx 6,5$ Фм.

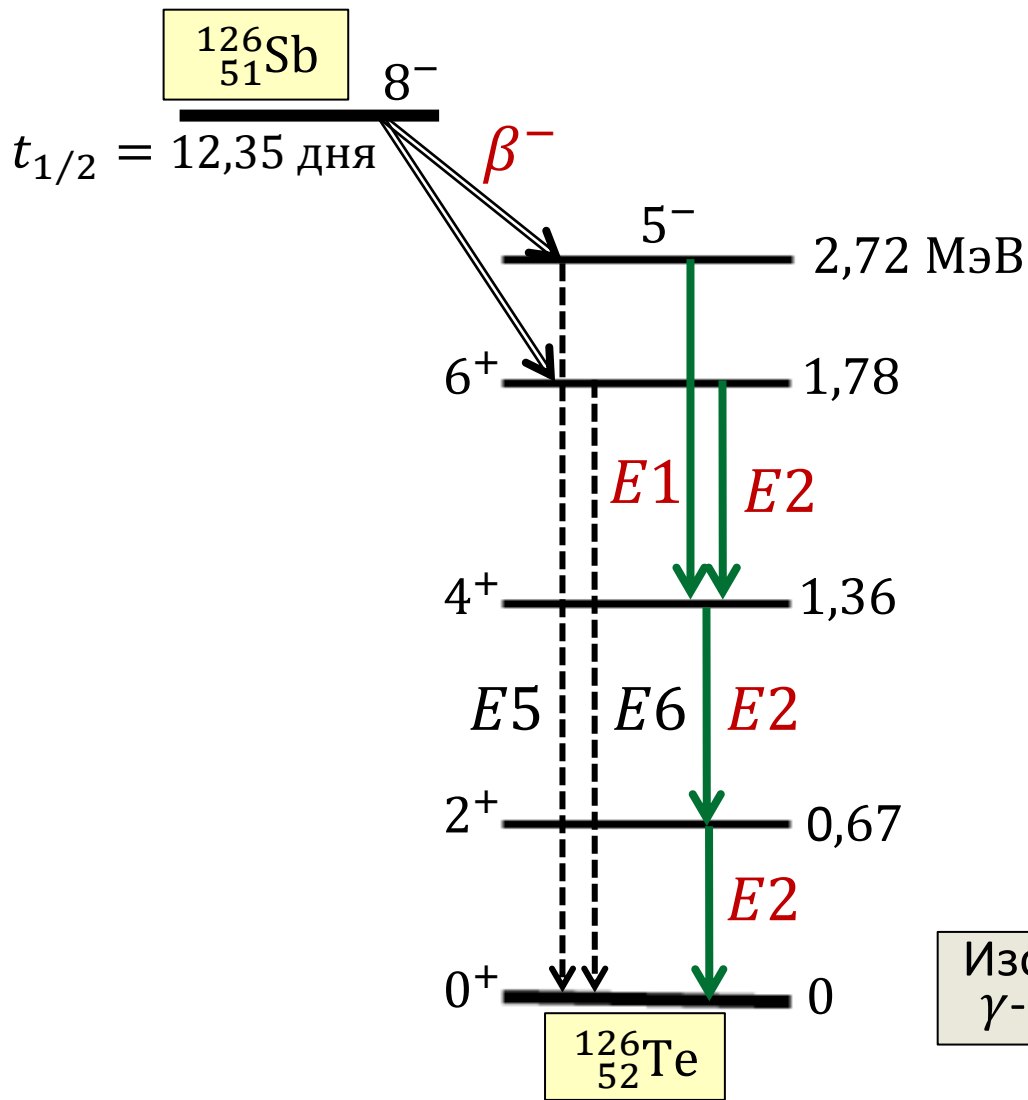
$$\lambda = \frac{2\pi\hbar c}{E_\gamma} = \frac{6,28 \cdot 200 \text{ МэВ} \cdot \text{Фм}}{10 \text{ МэВ}} \approx 126 \text{ Фм},$$

$$(kR)^2 = \left(\frac{2\pi}{\lambda} R \right)^2 \approx 0,1.$$

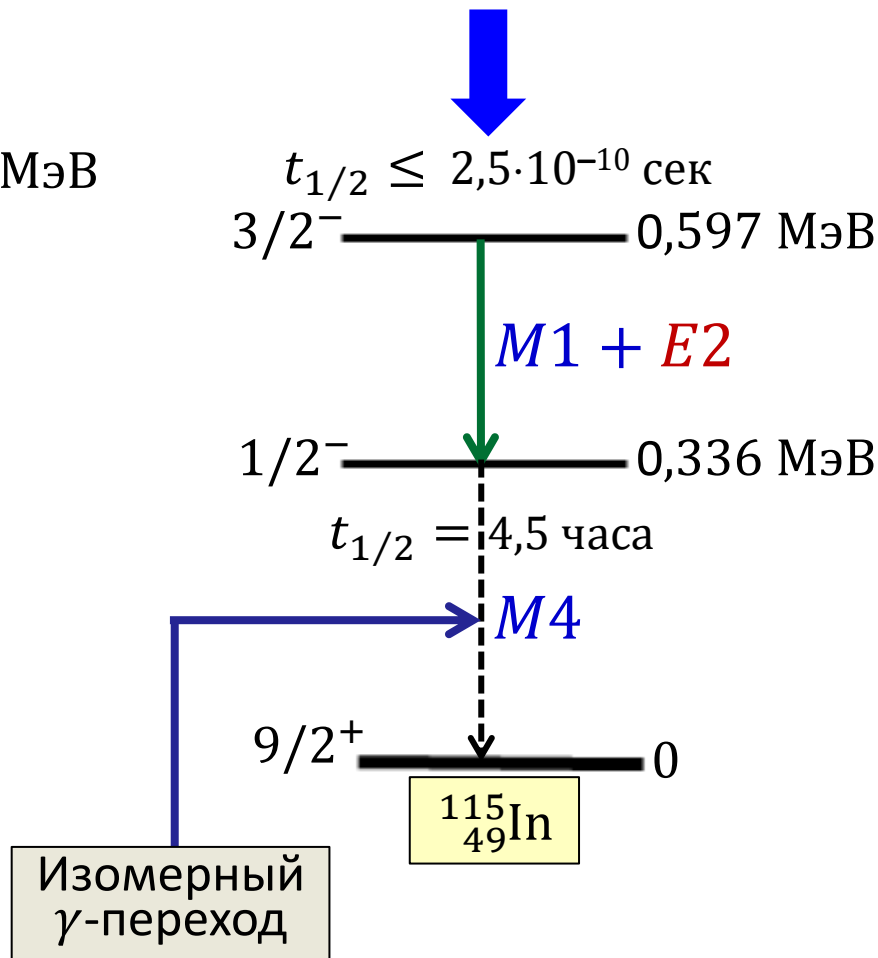
Скорости
гамма-переходов
в ядре
из 100 нуклонов,
рассчитанные
S.A.Moszkowski
(1965 г.)



В ядрах распространены каскады γ -переходов.
 Обычно для них $t_{1/2} < 10^{-7}$ сек



Ядерная изомерия:



Итак, в длинноволновом приближении ($\lambda \gg R$) при прочих равных условиях (т.е. когда нет запретов, обусловленных правилами отбора по моменту и четности) должно доминировать взаимодействие системы с электрическим дипольным ($E1$) излучением.

Это во многих случаях применимо к атому и атомному ядру.

Оператор взаимодействия $E1$ -излучения с системой без спина имеет вид

$$\hat{V}_{E1}(\vec{r}, t) = -\frac{1}{c} \sum_{\alpha=1}^A \frac{e_{\alpha}}{m_{\alpha}} \vec{A}_{E1}(\vec{r}_{\alpha}, t) \cdot \hat{\vec{p}}_{\alpha}, \text{ где } \hat{\vec{p}} \text{ — оператор импульса.}$$

Причем, как следует из разложения плоской волны при $\lambda \gg R$ ($kR \ll 1$)

$$\vec{A}(\vec{r}, t) = \vec{A}_0 e^{-i\omega t} \left[1 + i\vec{k}\vec{r} + \frac{1}{2} (i\vec{k}\vec{r})^2 + \frac{1}{6} (i\vec{k}\vec{r})^3 + \dots \right],$$

первый член $\vec{A}_0 e^{-i\omega t}$ этого разложения, отвечающий единице в скобках, относится целиком к $E1$ -компоненте электромагнитной волны. Поэтому

$$\hat{V}_{E1}(\vec{r}, t) = -\frac{1}{c} \vec{A}_0 e^{-i\omega t} \sum_{\alpha=1}^A \frac{e_{\alpha}}{m_{\alpha}} \hat{\vec{p}}_{\alpha}$$

и входящий в матричный элемент электромагнитного перехода

$\langle f | \hat{v}(\vec{r}) | i \rangle$ оператор $\hat{v}_{E1}(\vec{r}) = \hat{V}_{E1}(\vec{r}, t = 0)$ дается соотношением

$$\hat{v}_{E1}(\vec{r}) = -\frac{\vec{A}_0}{c} \sum_{\alpha=1}^A \frac{e_{\alpha}}{m_{\alpha}} \cdot \hat{\vec{p}}_{\alpha}.$$

Матричные элементы электромагнитных переходов в длинноволновом приближении

Матричный элемент для $E1$ -переходов:

$$\langle f | \hat{v}_{E1}(\vec{r}) | i \rangle = -\frac{\vec{A}_0}{c} \sum_{\alpha=1}^A \frac{e_{\alpha}}{m_{\alpha}} \langle f | \hat{p}_{\alpha} | i \rangle.$$

Из квантовой механики:

$$\langle f | \hat{p}_{\alpha} | i \rangle = \frac{E_i - E_f}{i\hbar} m_{\alpha} \langle f | \vec{r}_{\alpha} | i \rangle = i m_{\alpha} \omega_{fi} \langle f | \vec{r}_{\alpha} | i \rangle, \quad \text{где } \omega_{fi} = \frac{E_f - E_i}{\hbar}$$

и

$$\begin{aligned} \langle f | \hat{v}_{E1}(\vec{r}) | i \rangle &= \vec{A}_0 \sum_{\alpha=1}^A e_{\alpha} \frac{E_f - E_i}{i\hbar} \langle f | \vec{r}_{\alpha} | i \rangle = \vec{A}_0 \frac{E_f - E_i}{i\hbar} \langle f | \sum_{\alpha} e_{\alpha} \vec{r}_{\alpha} | i \rangle = \\ &= \vec{A}_0 \frac{E_f - E_i}{i\hbar} \langle f | \vec{D} | i \rangle, \end{aligned}$$

где

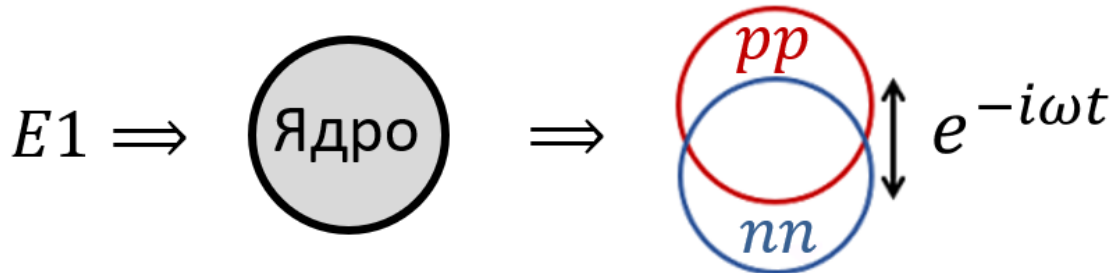
$$\vec{D} = \sum_{\alpha}^A e_{\alpha} \vec{r}_{\alpha} \text{ — электрический дипольный момент системы}$$

В длинноволновом приближении имеется следующая логическая цепь:

$$E1 \Rightarrow \langle f | \hat{v}_{E1}(\vec{r}) | i \rangle \Rightarrow \langle f | \mathcal{D}_1 | i \rangle$$

\mathcal{D}_1 – электрический дипольный момент системы

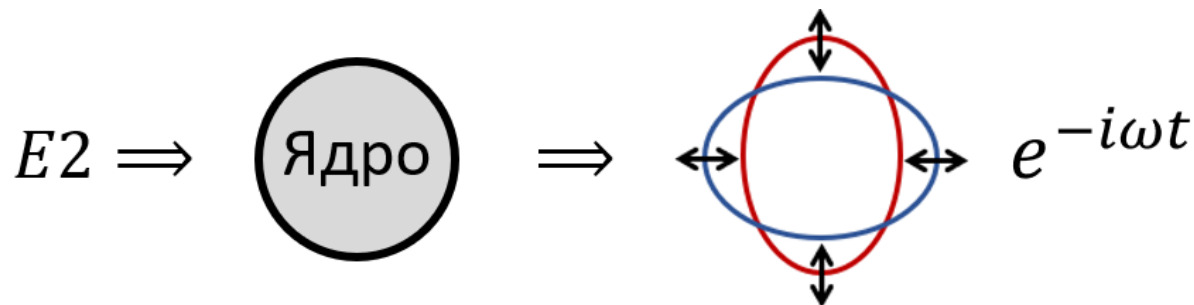
Колебание электрического дипольного момента системы:



$$E2 \Rightarrow \langle f | \hat{v}_{E2}(\vec{r}) | i \rangle \Rightarrow \langle f | \mathcal{D}_2 | i \rangle$$

\mathcal{D}_2 – электрический квадрупольный момент системы

Колебание электрического квадрупольного момента системы:



$$EJ \Rightarrow \langle f | \hat{v}_{EJ}(\vec{r}) | i \rangle \Rightarrow \langle f | \mathcal{D}_J | i \rangle$$

\mathcal{D}_J – электрический момент системы размерности (мультипольности) J

Колебание электрического момента системы мультипольности J

В квантовых расчетах необходимо учитывать проекцию M момента J на выделенное направление. Поэтому в матричных элементах фигурируют JM -компоненты статических электрических моментов системы – \mathcal{D}_{JM} :

$$\mathcal{D}_{JM} = \sqrt{\frac{4\pi}{2J+1}} \sum_{\alpha} e_{\alpha} r_{\alpha}^J Y_{JM}(\theta_{\alpha}, \varphi_{\alpha})$$

$\mathcal{D}_{00} = \sum_{\alpha} e_{\alpha} = Q$ – электрический заряд системы.

$$\vec{\mathcal{D}} \Rightarrow \begin{cases} \mathcal{D}_{10} = \sum_{\alpha} e_{\alpha} r_{\alpha} \cos\theta = \mathcal{D}_z, \\ \mathcal{D}_{1\pm 1} = \mp \frac{1}{\sqrt{2}} (\mathcal{D}_x \pm \mathcal{D}_y). \end{cases}$$

\mathcal{D}_{2M} – компоненты тензора электрического квадрупольного момента ($M = 0, \pm 1, \pm 2$)

Аналогичная ситуация имеет место и для переходов, вызванных фотонами магнитного типа MJ . В длинноволновом приближении соответствующие матричные элементы $\langle f | \hat{v}_{MJ}(\vec{r}) | i \rangle$ сводятся к матричным элементам $\langle f | \mathcal{M}_J | i \rangle$, где \mathcal{M}_J – магнитные моменты системы мультипольности J .

Правило сумм Томаса-Райха-Куна (ТРК) для электрических дипольных переходов в атомах

Эффективное сечение σ поглощения фотонов квантовой системой определяется выражением

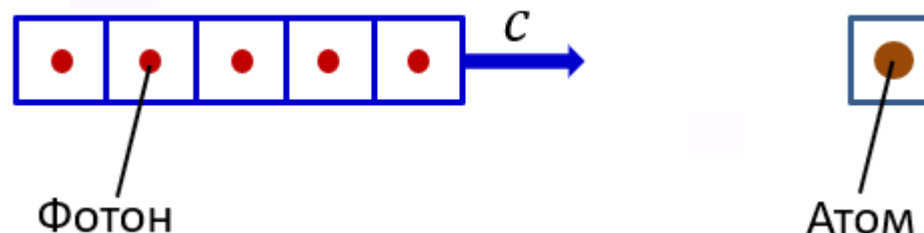
$$\sigma = \frac{w}{\text{плотность потока фотонов}},$$

где w – вероятность перехода системы в единицу времени под действием возмущения в первом порядке нестационарной теории возмущения дается выражением

$$w = \frac{2\pi}{\hbar} |\langle f | \hat{v}(\vec{r}) | i \rangle|^2 \rho_f(E_f).$$

Пусть поток фотонов отвечает одному фотону в единице объёма, тогда этот поток численно равен скорости света c и

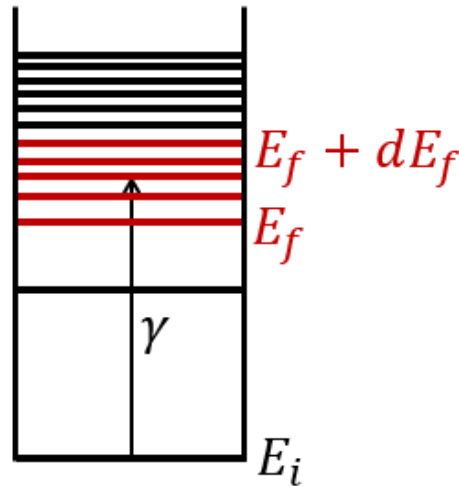
$$\sigma = \frac{w}{c} = \frac{2\pi}{\hbar c} |\langle f | \hat{v}(\vec{r}) | i \rangle|^2 \rho_f(E_f).$$



Если конечные состояния квантовой системы принадлежат дискретному спектру, то вместо выражения для σ , содержащего плотность конечных состояний $\rho_f(E_f)$, можно записать эквивалентное ему выражение

$$\sigma = \frac{2\pi}{\hbar c} \cdot \frac{1}{dE_f} \sum_f |\langle f | \hat{v}(\vec{r}) | i \rangle|^2,$$

где сумма берется по конечным состояниям, лежащим внутри интервала энергий от E_f до $E_f + dE_f$.



Тогда сечение фотопоглощения, проинтегрированное по всей области энергий возбуждения системы, приобретает вид

$$\int_0^{\infty} \sigma dE = \frac{2\pi}{\hbar c} \sum_i^{\text{все}} |\langle f | \hat{v}(\vec{r}) | i \rangle|^2.$$

Проделаем вычисления для $E1$ -фотонов, используя соответствующее выражение для матричного элемента:

$$\langle f | \hat{v}_{E1}(\vec{r}) | i \rangle = \vec{A}_0 \frac{E_f - E_i}{i c \hbar} \langle f | \vec{D} | i \rangle,$$

где $\vec{D} = \sum_{\alpha}^A e_{\alpha} \vec{r}_{\alpha}$ — электрический дипольный момент системы

Если n фотонов в единице объема, то $A_0 = \sqrt{\frac{2\pi\hbar n}{\omega}} \cdot c$

и при одном фотоне в единице объема $A_0 = \sqrt{\frac{2\pi\hbar}{\omega}} \cdot c$.

Учитывая, что $\vec{A}_0 = A_0 \vec{\epsilon}$, где $\vec{\epsilon}$ — единичный вектор поляризации волны, и, полагая $\vec{\epsilon} \parallel \vec{z}$, получаем $\vec{\epsilon} \cdot \vec{D} = \vec{\epsilon} \sum_{\alpha}^A e_{\alpha} \vec{r}_{\alpha} = \sum_{\alpha}^A e_{\alpha} z_{\alpha} = \mathcal{D}_z$ и

$$\int_0^{\infty} \sigma_{E1} dE = \frac{4\pi^2}{c} \sum_f^{\text{всё}} \omega_{fi} |\langle f | \mathcal{D}_z | i \rangle|^2, \quad \text{где } \omega \equiv \omega_{fi} = \frac{E_f - E_i}{\hbar}$$

Далее рассмотрим поглощение $E1$ -фотонов одноэлектронным атомом. Для того чтобы исключить эффект рассеяния электромагнитной волны атомом как неизменным целым объектом, оставив для рассмотрения лишь поглощение волны атомом с изменением его внутреннего состояния (т. е. с изменением относительного состояния электрона и ядра атома), используем систему центра инерции. При этом в качестве массы атома необходимо взять его приведенную массу, которая с большой точностью совпадает с массой электрона m , поскольку она много меньше массы ядра. В качестве электрического дипольного момента атома можно использовать выражение $\vec{D}_{\text{ат}} = e\vec{r}$, где e — заряд электрона, а $\vec{r}(x, y, z)$ — радиус-вектор электрона относительно ядра, поскольку центр инерции атома практически совпадает с положением ядра.

Итак, для одноэлектронного атома можно записать

$$\int_0^{\infty} \sigma_{E1}^{\text{ат}} dE = \frac{4\pi^2 e^2}{c} \sum_i^{\text{все}} \omega_{fi} |\langle f|z|i\rangle|^2.$$

Введем понятие *силы осциллятора перехода* F_{fi} электрона из состояния i в состояние f

$$F_{fi} = \frac{2m}{\hbar} \omega_{fi} |\langle f|z|i\rangle|^2.$$

Тогда

$$\int_0^{\infty} \sigma_{E1}^{\text{ат}} dE = \frac{2\pi^2 e^2 \hbar}{mc} \sum_i^{\text{все}} F_{fi}$$

Докажем теорему Томаса-Райха-Куна (Thomas-Reiche-Kuhn)

Представим F_{fi} в виде:

$$F_{fi} = \frac{2m}{\hbar} \omega_{fi} |\langle f|z|i\rangle|^2 = \frac{m}{\hbar} \omega_{fi} [\langle f|z|i\rangle^* \langle f|z|i\rangle + \langle f|z|i\rangle^* \langle f|z|i\rangle].$$

Далее, используя известные квантовомеханические соотношения

$$im\omega_{fi} \langle f|z|i\rangle = \langle f|\hat{p}_z|i\rangle \quad \text{и} \quad \langle f|z|i\rangle^* = \langle i|z|f\rangle, \quad \text{получаем}$$

$$F_{fi} = \frac{1}{i\hbar} [\langle i|z|f\rangle \langle f|\hat{p}_z|i\rangle - \langle i|\hat{p}_z|f\rangle \langle f|z|i\rangle].$$

$$\text{Тогда} \quad \sum_f F_{fi} = \frac{1}{i\hbar} [\langle i|z\hat{p}_z|i\rangle - \langle i|\hat{p}_z z|i\rangle] = \frac{1}{i\hbar} \underbrace{\langle i|z\hat{p}_z - \hat{p}_z z|i\rangle}_{i\hbar} = 1$$

Это и есть теорема Томаса-Райха-Куна (ТРК)

С учетом её для атома водорода ($Z = 1$) получаем

$$\int_0^\infty \sigma_{E1}^{\text{ат}} dE = \frac{2\pi^2 e^2 \hbar}{mc}$$

Для произвольного атома, содержащего Z электронов имеем

$$\int_0^\infty \sigma_{E1}^{\text{ат}} dE = \frac{2\pi^2 e^2 \hbar}{mc} Z$$

поскольку каждый электрон вносит независимый вклад в сечение.